

# TP SIMULATION NUMÉRIQUE : NEWTON VECTORIEL ET ÉQUATION DE LA CHALEUR

## Objectifs du TP

- Refaire de la simulation numérique.
- Appliquer la méthode de Newton à des fonctions vectorielles.
- Résoudre numériquement l'équation de la chaleur par différences finies et par séries de Fourier.

```
import numpy as np
import matplotlib.pyplot as plt
```

## 1 Méthode de Newton vectorielle

On peut appliquer la méthode de Newton (ou Newton-Raphson) à une fonction  $f : \Omega \rightarrow \mathbb{R}^m$  de classe  $\mathcal{C}^2$  sur un ouvert  $\Omega$  de  $\mathbb{R}^m$ .

On peut donc écrire  $f(x_1, \dots, x_m) = (f_1(x_1, \dots, x_m), \dots, f_m(x_1, \dots, x_m))$  où  $f_1, \dots, f_m$  sont à valeurs réelles.

On cherche à résoudre numériquement l'équation  $f(x) = 0$ , c'est-à-dire  $f(x_1, \dots, x_m) = (0, \dots, 0)$ . L'idée est, comme en dimension 1, de créer récursivement une suite avec

$$X_{n+1} = X_n - J_f(X_n)^{-1} \cdot f(X_n)$$

où  $X_n$  est un élément (vecteur) de  $\mathbb{R}^m$  et  $J_f$  est la matrice jacobienne de  $f$ , c'est-à-dire la matrice  $\left( \frac{\partial f_i}{\partial x_j} \right)_{1 \leq i, j \leq m}$  supposée inversible en tout point où elle est calculée.

On peut démontrer que si  $f$  est de classe  $\mathcal{C}^2$ ,  $f(a) = 0$  et  $J_f(a)$  est inversible, alors  $a$  est un point fixe superattractif de  $\varphi : x \mapsto x - J_f(x)^{-1} \cdot f(x)$  ce qui permet d'obtenir une convergence rapide pour peu que l'on ne parte (avec  $X_0$ ) pas trop loin de  $a$ .

Comme inverser  $J_f$  est coûteux et peut poser des problèmes numériques, on préfère en général résoudre le système linéaire

$$J_f(X_n) \cdot (X_n - X_{n+1}) = f(X_n)$$

pour déduire  $X_{n+1}$  de  $X_n$ .

1. Écrire une fonction `distance(X, Y)` renvoyant la distance euclidienne entre deux vecteurs représentés par des tableaux numpy de même dimension  $m$ .

2. Écrire une fonction `Newton(X0, f, Jf, epsilon)` prenant en entrée

- un tableau numpy `X0` de taille un certain  $m$ ,
- `f` une fonction prenant en entrée un tableau de taille  $m$
- `Jf` une fonction prenant en entrée un tableau de taille  $m$  et renvoyant un tableau de taille  $m \times m$

et renvoyant un tableau de taille  $m$  correspondant au terme de la suite obtenue par la méthode de Newton en s'arrêtant dès que deux termes successifs sont à distance au plus  $\epsilon$ .

3. On s'intéresse à l'équation  $z^3 = 1$ . Pour cela, nous allons appliquer la méthode de Newton appliquée à la fonction  $f : (x, y) \mapsto (\Re((x + iy)^3 - 1), \Im((x + iy)^3 - 1))$ .

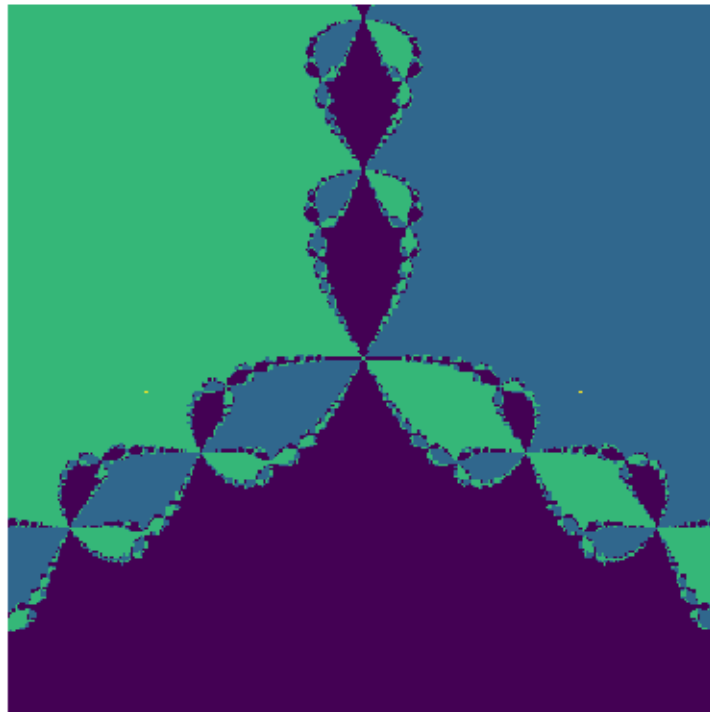
3.a) Calculer à la main  $f(x, y)$  puis  $J_f(x, y)$ .

3.b) Définir des fonctions  $f(x)$  et  $J_f(x)$  correspondant (on pourra écrire  $x, y = x$ .)

3.c) Dans une fonction `attraction(h, epsilon)`, en travaillant avec une grille de pas  $h$  couvrant le carré  $[-1,5, 1,5]^2$ , Résoudre  $f(x, y)$  par la méthode de Newton initialisée en chacun des points  $(x_i, y_j)$  de cette grille. Renvoyer un tableau `T` le numéro  $k$  entre 0 et 2 de la racine  $e^{\frac{2ik\pi}{3}}$  vers laquelle l'algorithme converge (à  $\epsilon$  près).

3.d) Tracer à l'aide de `plt.imshow(T)` pour  $h = 0,1$ .

3.e) Recommencer en réduisant  $h$ .



## 2 Équation de chaleur<sup>1</sup>

On considère l'équation de la chaleur

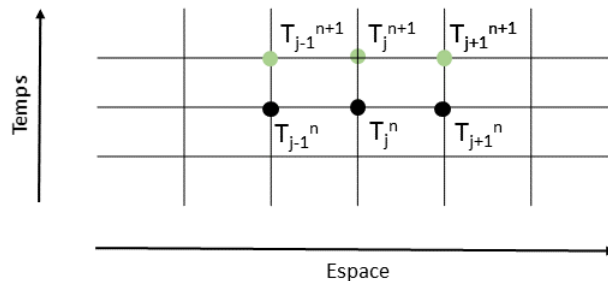
$$\begin{cases} \frac{\partial^2 T}{\partial x^2}(x, t) - \frac{1}{D} \frac{\partial T}{\partial t} = 0 \\ T(x, 0) = T_0(x) & \text{pour tout } x > 0 \\ T(0, t) = T(L, t) = T_{ext} & \text{pour tout } t > 0 \end{cases}$$

où  $T$  est définie sur  $[0, L] \times [0, +\infty[$  et  $T_0$  est définie sur  $[0, L]$  représentant la température d'une tige dont les extrémités sont maintenues à température constante.

### 2.1 Discrétisation : schéma de Crank-Nicholson

Pour résoudre numériquement l'équation de la chaleur, on discrétise le temps et l'espace pour former une subdivision régulière  $(x_j, t_n)_{\substack{1 \leq j \leq N_x \\ 1 \leq n \leq N_t}}$  de  $[0, L] \times [0, t_f]$  de pas  $\delta = L/N_x$  en espace et  $\tau = t_f/N_t$  en temps.

On note<sup>2</sup>  $T_j^n$  la valeur approchée de  $T(x_j, t_n)$ .



La dérivée seconde en espace  $\frac{\partial^2 T}{\partial x^2}(x_j, t_n)$  va être approchée en utilisant la formule vue en début d'année pour un schéma aux différences finies (avec  $u$  de classe  $\mathcal{C}^2$ ) :

$$u''(x) = \frac{u(x-h) - 2u(x) + u(x+h)}{h^2} + o_{h \rightarrow 0}(1)$$

mais on prendra la moyenne aux temps  $t_n$  et  $t_{n+1}$  :

$$\frac{T_{j-1}^{n+1} - 2T_j^{n+1} + T_{j+1}^{n+1}}{2\delta^2} + \frac{T_{j-1}^n - 2T_j^n + T_{j+1}^n}{2\delta^2}$$

et la dérivée première en temps  $\frac{\partial T}{\partial t}(x_j, t_n)$  est approchée classiquement par  $\frac{T_j^{n+1} - T_j^n}{\tau}$ .

4. Donner alors une équation reliant  $T_{j-1}^n, T_j^n, T_{j+1}^n, T_{j-1}^{n+1}, T_j^{n+1}, T_{j+1}^{n+1}, \tau, D$  et  $\delta$ .

1. Librement inspiré du livre *Informatique - Programmation et calcul scientifique - en Python et Scilab* de T. Audibert et A. Oussalah (ed. ellipses)

2. Ce  $n$  ne désigne évidemment pas une puissance.

5. Vérifier qu'en posant  $\alpha = \frac{D\tau}{2\delta^2}$ , pour tout  $j \in \llbracket 1, N_x - 1 \rrbracket$ ,

$$-\alpha T_{j-1}^{n+1} + (1 + 2\alpha) T_j^{n+1} - \alpha T_{j+1}^{n+1} = \alpha T_{j-1}^n + (1 - 2\alpha) T_j^n + \alpha T_{j+1}^n.$$

6. Écrire une fonction `matrice(m, a, b)` renvoyant un tableau de taille  $(m + 1) \times (m + 1)$  de la forme :

$$\begin{pmatrix} 1 & 0 & & & (0) \\ a & b & a & & \\ & \ddots & \ddots & \ddots & \\ & & a & b & a \\ (0) & & & 0 & 1 \end{pmatrix}$$

7. On note  $T^{(n)} = (T_0^n \ T_1^n \ \dots \ T_{N_x}^n)^\top = \begin{pmatrix} T_0^n \\ T_1^n \\ \vdots \\ T_{N_x}^n \end{pmatrix}$  la distribution de températures au temps  $t_n$ . Que valent le premier et le dernier coefficients? Que vaut  $T^{(0)}$ ?

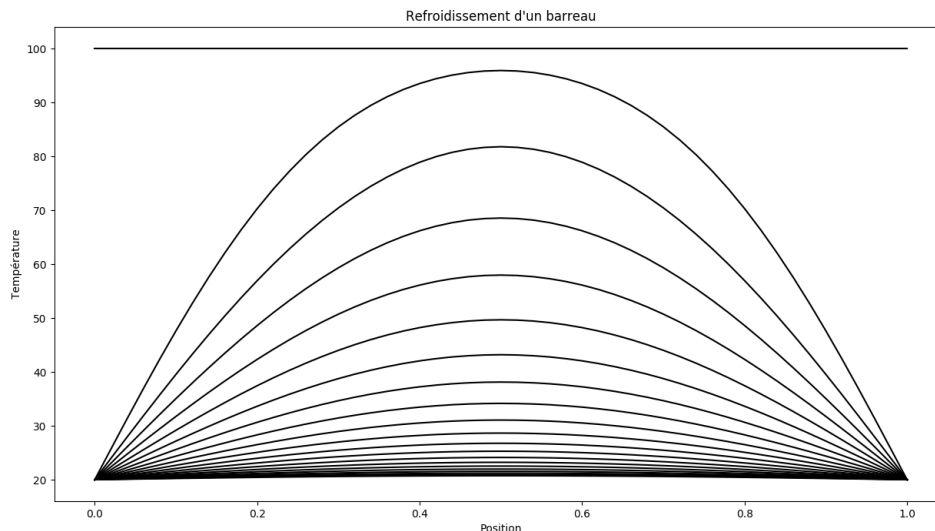
8. Montrer que, si on connaît  $T^{(n)}$ , on détermine  $T^{(n+1)}$  en résolvant un système  $AT^{(n+1)} = BT^{(n)}$  où  $A$  et  $B$  sont de la forme :

$$A = \begin{pmatrix} 1 & 0 & & & (0) \\ -\alpha & 1+2\alpha & -\alpha & & \\ & \ddots & \ddots & \ddots & \\ & & -\alpha & 1+2\alpha & -\alpha \\ (0) & & & 0 & 1 \end{pmatrix} \quad \text{et} \quad B = \begin{pmatrix} 1 & 0 & & & (0) \\ \alpha & 1-2\alpha & \alpha & & \\ & \ddots & \ddots & \ddots & \\ & & \alpha & 1-2\alpha & \alpha \\ (0) & & & 0 & 1 \end{pmatrix}$$

en posant  $T_0^0 = T_{N_x}^0 = T_{ext}$ .

9. Écrire une fonction `CrankNicholson(L, tf, D, T0, Text, Nx, Nt)` qui retourne le tableau  $T$  dont les colonnes sont les  $T^{(n)}$ .

10. Tracer les solutions approchées pour  $x \in [0, L]$  et  $t \in [0, t_f]$ , en prenant  $T_0 \equiv 100$ ,  $L = 1$ ,  $D = 1$ ,  $t_f = 0,5$ ,  $T_{ext} = 20$ ,  $N_t = 1000$ ,  $N_x = 50$ .



## 2.2 Solution exacte

Le problème admet comme unique solution

$$T(x, t) = T_{ext} + \sum_{k=1}^{+\infty} c_k \sin\left(\frac{k\pi}{L}x\right) e^{-\left(\frac{k\pi}{L}\right)^2 Dt}$$

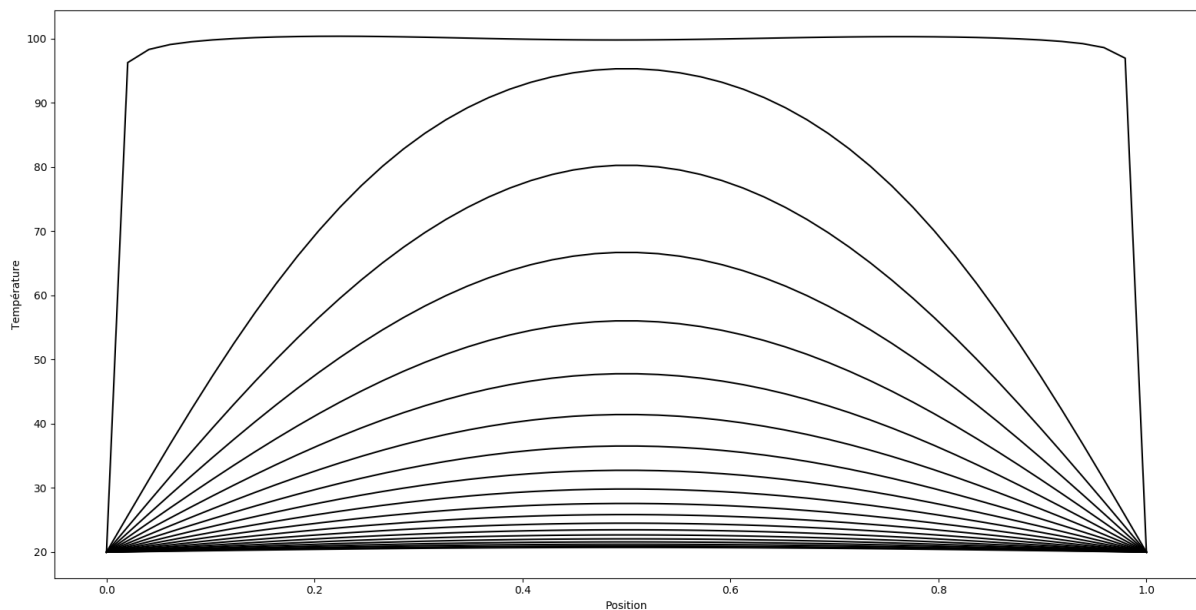
avec<sup>3</sup>

$$c_k = \frac{2}{L} \int_0^L \sin\left(\frac{k\pi}{L}s\right) (T_0(s) - T_{ext}) ds.$$

11. Écrire une fonction  $c(k, T_0, L, T_{ext})$  calculant une valeur approchée de  $c_k$  : l'intégration se fera par la méthode des trapèzes, avec un pas suffisamment petit.

12. Écrire une fonction  $T(T_0, n, L, D, x, t, T_{ext})$  renvoyant une approximation de  $T(x, t)$  correspondant à la somme partielle d'indice  $n$ .

13. Tracer sur un même graphe la température en fonction de  $x \in [0, L]$  pour divers temps  $t \in [0, t_f]$ , en prenant  $T_0 \equiv 100$ ,  $L = 1$ ,  $D = 1$ ,  $T_{ext} = 20$  et  $t_f = 0,5$ .



3. Ce sont les coefficients de Fourier du prolongement impaire de  $T_0$  en une fonction  $2L$ -périodique.